

## PRIMENA MEHANOHEMIJE U KERAMIČKIM PROCESIMA

Emilija Kostić, Šandor Kiš, Slavica Zec,  
Institut za nuklearne nauke "Vinča", Lab.170, P.fah 522, 11001 Beograd

Sadržaj - Izložene su promene karakteristika koje su proučile intenzivno mlevenje keramičkih prahova u vibracionom milinu. Predloženi su mehanizmi fizičko-hemijskih procesa koji se u njima odvijaju tokom mlevenja. Analizirani su i procesi koji teku tokom naknadnog termičkog tretmana delimično aktiviranih keramičkih prahova.

## 1. UVOD

Mehanohemiju aktivaciju prati niz promena na tretiranom materijalu. Na koji način će se uneti mehanička energija manifestovati zavisi od sile koju deluju tokom mehaničkog tretmana praha (za dati uređaj) kao i niza eksperimentalnih uslova rada [1]. Naše istaknu pri radu sa vibracionim laboratorijskim milinom, koji udarom i fricijom doprinosi mehaničkoj aktivaciji ukazuje na niz promena karakteristika praha tokom mlevenja, o kojima će biti detaljnije govorilo. Takođe će se analizirati uticaj unete mehaničke energije sistema koji se mijenju na odvijanje fazne transformacije i hemijske reakcije. Posebna pažnja biće posvećena procesima koji tokom naknadnog termičkog tretmana delimično aktiviranih prahova doprinose povećanom prinosu reakcionog produkta.

## 2. AKTIVNOST I REAKTIVNOST AKTIVIRANIH PRAHOVA

Aktivirana čvrsta tela raspolažu i termodynamički i strukturno nestabilnim rasporedom elemenata rešetke kristala što se odražava na povećanje slobodne energije sistema koji je mehanički tretiran. Aktivnost ili aktivno stanje [2] određuje razlike između slobodne energije aktiviranog materijala ( $G^*$ ) i pomenute veličine za idealni kristal (G). tj.

$$\Delta G = G^* - G$$

Međutim, povećanje entalpije ( $\Delta H$ ), umesto viška slobodne energije, koja se može eksperimentalno odrediti [2], se smatra jedinim od najvažnijih svojstava aktiviranog materijala, odnosno merom aktivnosti čvrstih tela. Pri eksperimentalnom radu se pokazalo da ovaj parametar ne može uvek da se dovede u korelaciju sa konstantnom brzinom reakcije, te je uveden dodatni parametar "efektivna specifična površina" koji boje može, u nekim slučajevima, da definiše reaktivnost aktivnih prahova. Mada pomenuti parametri pružaju velik doprinos uspostavljanju veze između akutnosti i reaktivnosti aktiviranog materijala,

pokazuju se da su glavni faktori povećane reaktivnosti efikasnosti i mogućnosti boljeg korišćenja viška slobodne energije. Stepen njenog iskorишćenja se vezuje za vrste i raspodelu strukturalnih defekata u aktiviranim prahovima, koji najviše doprinose razumevanju veze između aktivnosti i odvijanja niza procesa u praškastim sistemima [3].

## 3. SVOJSTVA PRAHOVA IZLOŽENIH MEHANIČKOJ AKTIVACIJI

Uneta mehanička energija dovodi, pre svega, već pri kraćim vremenskim utrivanju do srušenja čestica praha. Promene polaznih veličina čestica se mogu pratiti mikroskopskom analizom ali i promenom specifične površine (Tablica 1), koja pod uslovom da prahovi ne type hemijske promene pri mlevenju, raste sa vremenom mlevenja. Predložene su različite jednačine za pranje promene specifične površine sa vremenom mlevenja [1]. Srušenje čestica je često pracen i aglomerisanjem usitnjenjem delova čestica, koje može da doveđe i do smanjenja ovog parametra sa proširenjem vremena mehaničkog tretiranja. Brzina srušenja se može kontrolisati odabiranjem eksperimentalnih uslova rada, za dati keramički prah, kako se vidi iz priložene Tablice 1. Međutim, pokazalo se da u smešama prahova dolazi do ubrzanih srušenja nekih komponente nego u slučaju kada se sruši isključivo ponenu komponentu. Često se razudenost mlevenih čestica praha procenjuje računanjem srednje veličine čestica iz vrednosti specifične površine i poređenjem dobijenih vrednosti sa veličinama dobijenim mikroskopskim putem i rendgenskom metodom (koja daje vrednosti kristalita praha). Takođe su na raspolaganju mnogobrojni uređaji koji pružaju podatke o raspodeli veličina čestica u mlevenim prahovima.

Proces mehaničke aktivacije je prateo, često, i smanjenjem kristalita polaznih prahova. Ovaj proces je izražen u ukoliko polazni prah čine veći kristali bez većeg broja defekata. Mada se ovaj proces može kontrolisati eksperimentalnim uslovima rada, kod tvrdih prahova teže sporije. Usled intenzivnog dejstva sile trenja i udara od surane tela za mlevenje kristalit koji se sruši često apsorbuje znatnu količinu energije koja izaziva naprezanje u rešetki tokom mehaničke aktivacije (Tablica 2). Rendgenskom metodom se mogu pratiti kako srušenje kristalita, deformacija rešetke [4] tako i amorfizacija prahova izloženih intenzivnom mehaničkom tretmanu.

Tablica 1. Specifična površina tokom mlevenja ( $m^2/g$ )

Prah	Vreme mlevenja (min)											
	0	2	5	7	15	30	60	90	120	300	420	600
$\gamma\text{-Al}_2\text{O}_5$	10g	60.5	69.2	62.0	61.0	48.2	34.5	30.2	-	26.1		
	20g	60.5	71.8	71.5	70.5	61.1	61.0	51.6	-	43.0		
	50g	60.5	68.8	69.1	72.0	73.5	75.7	-	76.8	75.5	55.8	
TiO <sub>2</sub>	50g	9.5	-	11.5	-	12.4	15.3	16.8	17.5	19.2	21.8	22.5
b. MgCO <sub>3</sub>												
$\alpha\text{-Al}_2\text{O}_5$ (spinel)	50g	8.3	-	9.9	-	10.6	11.3	10.5	9.8	8.9	-	-
b. MgCO <sub>3</sub>	am. SiO <sub>2</sub> (forsterit)	10g	10.8	11.0	11.3	10.8	9.5	8.8	7.8	6.6	5.8	

Najime, u svim ispitivanim sistemima, nezavisno da li su jedno- ili višekomponentni, sa produženjem vremena mlevenja je primičeno podizanje bazne linije na difraktogramima, što može da bude izazvano i amorfizacijom izvesnog dela čestica [5]. Pomenuto povećanje sona je brže raslo kod manjih količina mlevenog praha. Pri mlevenju  $\gamma\text{-Al}_2\text{O}_3$ , ova veličina (pri  $2\Theta = 54^\circ$ ) iznosi posle 120 minuta mlevenja 10g, 20g i 50g praha, 226 impulsu, 167 impulsu i 136 impulsu. Kod  $\text{TiO}_2$  mlevenjem 50g praha fon je (pri  $2\Theta = 26^\circ$ ) rastao od 180 impulsu, za polazni prah do 600 impulsu posle 10h mlevenja. U dvokomponentnim sistemima (bazni  $\text{MgCO}_3$  i  $\alpha\text{-Al}_2\text{O}_3$ ) je poređen porast sona (pri  $2\Theta = 26^\circ$ ) od 169 na 273 impulsa pri mlevenju od 0-10h (10g praha) dozadilo do potpunog isčezavanja difrakcionih linija baznog  $\text{MgCO}_3$  (gde je moglo doći i do razgradnje), dok su konundne linije još egzistirale ali znatno slabijeg intenziteta. Prema tome, tokom mehaničkog trenjana je vedro vrio sitnih čestica praha rastao sa porastom količine mehaničke energije predratne prahu koji se melje. Podizanje bazne linije na difraktogramima se može prihvati za relativno poređenje udela vrio sitnih čestica praha koji se melje, dok tek radikalna distribucija analiza može da ukaže na postojanje sredinosti knjeg domena [5].

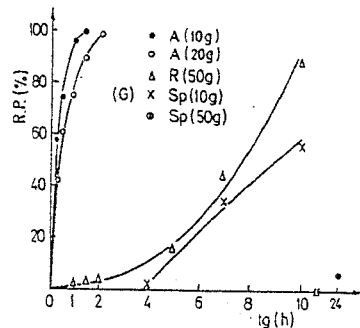
Pored smanjenja čestica praha i smanjenja kristalita (što je praćeno povećanjem deformacije rešetke) praha koji se melje, u slučaju smeša prahova izloženih intenzivnom mlevenju se postiže njihova izuzetno dobra homogenizacija. Ono je efikasan postupak mešanja jer se može postići za kratko vreme srušenje svih komponenti smeše, ukoliko su slične tvrdote, i njihova homogena raspodela usled intenzivnog vibriranja, ili pak oblaganje tvrdih komponente meksom.

Tablica 2. Veličina kristalita i naprezanje rešetke  $\text{TiO}_2$  tokom mlevenja

D (Å)	Vreme mlevenja			
	0	30	120	300
1550	1050	670	460	
$\Delta \frac{\sigma}{\sigma} (\%)$	0.005	0.05	0.07	0.15

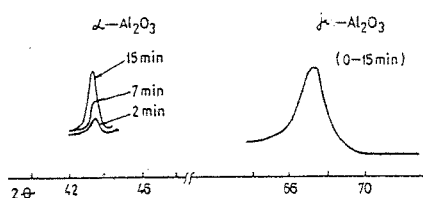
#### 4. FIZIČKOHEMIJSKI PROCESI TOKOM MEHANIČKE AKTIVACIJE

Tokom intenzivnog mlevenja keramičkih sistema primičeni su razni fizikohemiski procesi zavisno da li su u pitanju termodynamički stabilne ili metastabilne faze, odnosno faze koje podležu i hemijskim promenama (sl. 1). Intenzivno mlevenje jednokomponentnih sistema kao što su  $\alpha\text{-Al}_2\text{O}_3$ , kvarc ili bazni  $\text{MgCO}_3$  je pri kraćim vremenima tretranja uslovjavalo porast specifične površine praha a pri dužem mlevenju - srušenje kristalita i deformaciju rešetke. Kod prva dva sistema je konstatovan kontinualni porast specifične površine, dok je kod baznog  $\text{MgCO}_3$  posle 30 minuta mehaničkog tretriranja primičeno smanjenje ove karakteristike, kao posledica njegove postepene razgradnje praećne aglomeracijom. Međutim, izlaganje  $\gamma\text{-Al}_2\text{O}_3$ , intenzivnom mlevenju, čije su polazne čestice bile  $\beta\text{-Al}_2\text{O}_3$  a kristaliti  $58\text{\AA}$ , je pri eksperimentalnom radu sa većom količinom praha (50g) dovodilo samo do srušenja čestica bez znatnih hemijskih promena. Pri mlevenju manjih količina  $\gamma\text{-Al}_2\text{O}_3$  (sl. 1) srušenje čestica praha je proticalo znatno brže i usled intenzivnog delovanja sile trenja i udara usišnjene čestice su gubile kristalnu vodu, prelazeći kroz  $\delta$ - i  $\Theta\text{-Al}_2\text{O}_3$  u  $\alpha\text{-Al}_2\text{O}_3$ , već posle 2 min. mlevenja. Veličina kristalita nastale nove faze



Sl.1. Prinos  $\alpha\text{-Al}_2\text{O}_3$  (A), rutila R i spinela (Sp) tokom mlevenja

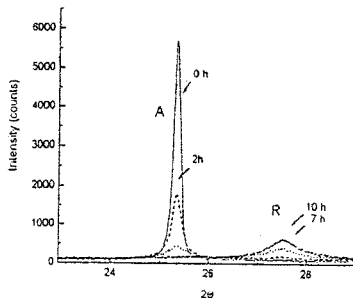
bila je iznad  $200\text{ \AA}$  (sl.2) iz čega proistiće da su nukleusi novonastale faze rasli u okviru čestica praha [obzirom da su veličine čestica dobijene iz BET specifične površine (Tablica 1) približno ovih dimenzija]. Smanjenje specifične površine prahova sa porastom količine  $\alpha\text{-Al}_2\text{O}_3$  ukazuje na odsustvo mikroporoznosti unutar čestica  $\alpha\text{-Al}_2\text{O}_3$ .



Sl.2. Promena profila difrakcionih linija pri mlevenju 10g praha  $\gamma\text{-Al}_2\text{O}_3$

Prah  $\text{TiO}_2$ , u formi anatasata, izložen mlevenju je prelazio u rutil. Veličina čestica polaznog praha se mlevenjem smanjivala, što je praćeno smanjivanjem i kristalita anatasata kao i deformacijom rešetke (Tablica 1 i 2). Kristaliti anatasata smanjeni ispod  $400\text{ \AA}$  u visokog stepena deformacije su tokom udara trpili fazni prelaz u rutil. Obzirom na veličine kristalita rutila, najsutinje čestice anatasata su tripele fazne transformacije (sl.3). U oba slučaja, za odvijanje fazne transformacije je prethodno bilo potrebno da se usišne čestice (kristaliti) polaznog praha do određene veličine. Dalje unošenje mehaničke energije u rešetku usmjerenoj probitom krstala je dovelo do kidanja postojećih veza između izgrađivačkih elemenata i stvorilo uslove za nastajanje kristalita stabilnije faze čiji je broj rastao sa proženjem mlevenja. Kinetika nastajanja rutila u  $\alpha\text{-Al}_2\text{O}_3$  ne podlaže postojećim kinetičkim relacijama za odvijanje procesa na

povišenim temperaturama [6] nego teče brzinom zavisnom od ogromnog broja parametara određenih eksperimentalnim uslovima mada.



Sl.3. Profil difrakcionalnih linija anatas (A) i rutile R pri mlevenju

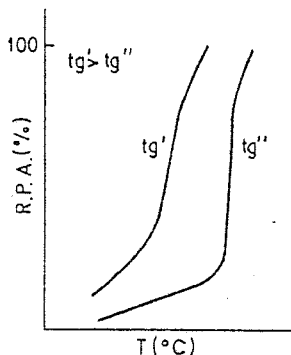
Praćene su fizičkohemijske promene i u smešama prahova (dvokomponentni sistemi) tokom mehaničke aktivacije. U slučaju smeša baznog  $MgCO_3$  i  $\alpha-Al_2O_3$  (smeša za spinel) primenjeno je brže stinjenje  $MgO$  komponente (naročito kada se radi o smešama od 10g), mada je dolazilo i do izvesnog stinjenja kristalita  $Al_2O_3$ . Praćenje vrednosti specifične površine spinelne smeše nam je ukazalo na njenost stinjenje posle 30 min. što govori o aglomeraciji sitnih čestica baznog  $MgCO_3$  oko većih čestica  $Al_2O_3$ . Spinelna faza je u smešama sa 50g detektovana posle znatno dužeg mlevenja, što takođe potvrđuje značaj eksperimentalnih uslova rada na kinetičku odvijanja ispitivanje hemijske reakcije. Obzirom na uslove rada i korišćene sirovine smatramo da se hemijska veza javlja na dodiru većih čestica  $Al_2O_3$  i baznog  $MgCO_3$  usled inkorporacije  $Mg$  jona u površinu čestica  $Al_2O_3$ , imajući u vidu brzinu stinjenja obe komponente kao i uslove za delimičnu razgradnju baznog karbonata. Izvor potrebne energije za nastajanje kristalita sa rasporedom kationa i anjona spinelne strukture se može pripisati deformaciji rešetke  $Al_2O_3$  [7]. Pri korišćenju uslovnina mehaničke aktivacije udeo spinelne faze je rastao sa produženjem vremena mlevenja, preko 7h, usled nastajanja sve većeg broja dovoljno sitnih čestica  $Al_2O_3$  deformisane rešetke [7].

U smešama baznog  $MgCO_3$  i amorfinskog  $SiO_2$  pri mehaničkoj aktivaciji (10g) do 4h nismo detekovali forsteritnu fazu. Konstatovano je usitnjavanje kristalita baznog  $MgCO_3$  čije difrakcione linije isčezavaju posle 1h mlevenja. Specifična površina se smanjuje posle 5 min. trešnja ukazujući na mogućnost aglomeracije čestica prisutnih komponenti, iako rendgenska analiza ukazuje na njihovo stinjenje koje uslojjava podizanje bazne linije difraktograma mlevenih smeša. Očekuje se dobra homogenizacija čestica komponenti smeše za forsterit kao i formiranje nukleusa reakcionog produkta, čiji broj treba da raste sa produženjem mehaničkog tretmana.

##### 5. FIZIČKOHEMISKI PROCESI TOKOM ZAGREVANJA PRETHODNO AKTIVIRANIH PRAHOVA

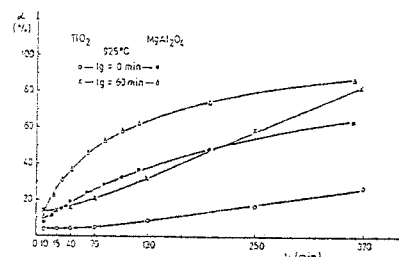
Pokazalo se da delimično aktivirani prahovi zahtevaju znatno manju termičku energiju za odvijanje već diskutovanih procesa

faznog prolaza ili hemijske reakcije. Ovi procesi i otpočinju na nižim temperaturama a i zahtevaju dovodenje manje toplote energije da bi se odigrali do kraja (sl.4). Formiranje forsterita, na primer, teče intenzivno na  $600^\circ C$ . Kinetička analiza ispitivanih



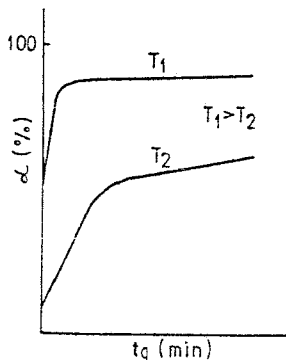
Sl.4. Zavisnost količine reakcionog produkta od temperature

procesa kod delimično aktiviranih prahova je potvrđila povoljan uticaj prethodne mehaničke aktivacije na brzinu ispitivanih procesa. Dobijeni podaci ukazuju da kod faznih transformacija najpre rastu nukleusi stvorenim mehaničkim putem, dok kod hemijskih reakcija formiranje spinela i forsterita kinetička analiza ukazuje na mehaničku difuziju jona kroz kristalnu rešetku [6] koji je takođe intenzivniji kod dužeg mlevenih prahova (sl.5).



Sl.5. Udeo reakcionog produkta ( $\alpha$ ) - rutila i spinela - sa vremenom izotermnog žarenja ( $t$ )

Odgledno je da se u svim ispitivanim sistemima već pri kraćim vremenima mlevenja, od nekoliko minuta, formiraju nukleusi nove faze, čiji broj raste sa produženjem trajanja mehaničke aktivacije. Nastali nukleusi ovih faza prestaju u kristalite koji rastu na temperaturama na kojima se temička nukleacija ili difuzija jona u neaktiviranoj smeši znatno sporije odvija (kako ukazuju podaci dobijeni za mehanički netretirane prahove). Porastom temperature žarenja smanjuje se efekat dužine mlevenja na količinu nastalog reakcionog produkta (sl.6).



Sl.6. Udeo reakcionog produkta sa vremenom izvezenja pri zagrevanju

## 6. REZIME

Procesi koji se odvijaju tokom mehaničke aktivacije podležu posebnim zakonitostima, zavisno od eksperimentalnih uslova rada i ne mogu se razmatrati kao temnički aktivirane reakcije. I kinetika i mehanizmi razmatranih procesa su u tesnoj vezi sa delovanjem uvedene mehaničke energije koja uslovjava mikronizaciju čestica i fizičko-hemijušku promenu prvočinih kristala prahova, uključujući i amorfizaciju. Kod višekomponentnih sistemima pomenuți procesi su prateći homogenizacijom prisutnih prahova. Navedene promene su neophodan preuslov za stvaranje nukleusa nove faze ili novih hemijskih veza u sistemu.

Povoljan uticaj delujuće mehaničke aktivacije ispitivanih jednokomponentnih i dvokomponentnih sistema na odvijanje razmatranih procesa pri naknadnom zagrevanju se prvenstveno

može pripisati rastu kristala mehaničkim putem nukleisanje nove faze ili formiranje nove hemijske veze. Ovaj proces je izrazitiji pri uslovima neznačajnog uticaja termičke nukleacije ili difuzije jona. Sa porastom temperature žarenja efekat prethodne mehaničke aktivacije se poslepolno smanjuje.

## LITERATURA

- [1] G.Haenike, Tribohimija, Moskva, Mir, 1987.
- [2] K.Meier, Fizičko-hemicheskaya kristalografija, Moskva, Metalurgiya, 1972.
- [3] M.Senna, The Evolution of Activity and Reactivity of Mechanically Treated Fine Powdered Materials, KONA, No.5 (1987) pp.76-81.
- [4] G.H.Williamson and W.H.Hall, X-Ray Line Broadening from Filed Al and W, Acta Met., 1 (1953) 22-31.
- [5] H.Klug, L.Alexander, X-Ray Diffraction Procedures, N.York, John Wiley and Sons, 1954.
- [6] S.F.Hubert, Models for Solid-State Reactions in Powdered Compacts, J.Brit.Cer.Soc., 6 (1969) 11-19.
- [7] P.Bar-On et al., Formation of Partially Inverse Mg-Al Spinel by Grinding MgO with  $\gamma$ -Al<sub>2</sub>O<sub>3</sub>, J.Therm.Anal., Vol.42 (1994) 207-217.

**Abstract** - Changes of ceramic powders characteristics proceeding intense grinding in vibratory mill were followed. Mechanisms of physicochemical processes developing in the powders during the grinding were suggested. Evolution of the processes during subsequent thermal treatment in partially activated ceramic powders was analyzed.

## CERAMIC PROCESSES DURING MECHANICAL ACTIVATION

Emilija Kostić, Šandor Kiš, Slavica Zec